

Формирование точного автомодельного решения задачи гидродинамического расчета упорного подшипника, обладающего повышенной несущей способностью и демпфирующими свойствами, работающего на двухслойной смазке в нестационарном режиме трения

Как уже было отмечено в работе [1], при взаимодействии на границе раздела жидкости с твердой опорной поверхностью подшипника, происходит образование пристенного слоя жидкости другой вязкости, отличной от вязкости смазок в основном слое. В работе [1] в отличие от других работ, посвященных данной проблеме при анализе основных характеристик, режим течения в смазочном слое считался нестационарным. Однако, недостаток предыдущей работы заключался в том, что подшипник не обладал демпфирующими свойствами, поверхности подшипника являлись сплошными. Так как большинство пар трения работают в нестационарном режиме трения, поэтому разработка расчетной модели подшипников скольжения в нестационарном режиме трения с учетом сил инерции и демпфирующих свойств подшипника является актуальной задачей трибологии, непосредственно связанной с анализом устойчивости работы подшипника.

В данной статье, предложенный в работе [1] метод расчета основных рабочих характеристик подшипника обобщается на случай, когда на направляющей поверхности подшипника присутствует пористый

Постановка задачи. Начальные и граничные условия.

Рассматривается неустановившееся стратифицированное течение двухслойной вязкой несжимаемой жидкости в зазоре упорного подшипника скольжения с адаптированным профилем опорной поверхности.

Предполагается, что ползун неподвижен, а шип с пористым слоем движется в сторону сужения зазора с заданной скоростью u^* , на которую накладываются возмущения $A' \sin \Omega' t - A' \sin \Omega' t$, где A' - амплитуда, Ω' - частота возмущения (рис.1).

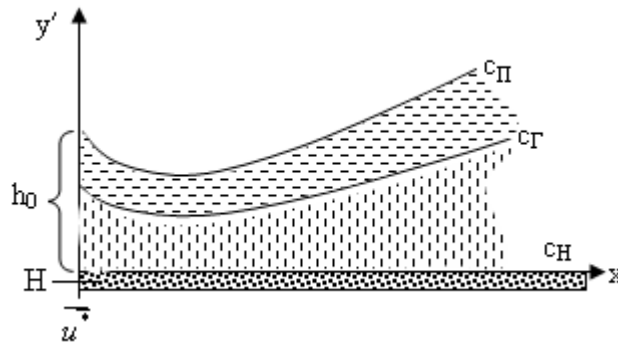


Рис. 1 Схематическое изображение двухслойной смазки в зазоре упорного подшипника при наличии пористого слоя на поверхности направляющей

В декартовой системе координат $x'O'y'$ уравнение адаптированного контура C_{Π} ползуна, границы раздела C_{Γ} , а также направляющей C_{H} с пористым слоем толщины H , имеют вид:

$$y' = h_0 + x' \operatorname{tg} \alpha - a' \sin \omega' x' = h'(x'), \quad y' = \alpha h'(x'), \quad y' = 0, \quad y' = -H. \quad (1)$$

Здесь a' и ω' соответственно амплитуда и частота контурных возмущений, характеризующих степень отклонения контура ползуна от прямолинейного, $\alpha \in [0,1]$, h_0 – начальный зазор; $\operatorname{tg} \alpha$ – угловой коэффициент линейного контура.

В дальнейшем $\omega = \omega' l$ определяется из условия максимума несущей способности подшипника, a' и $l \operatorname{tg} \alpha$ – одного порядка малости, где l – длина ползуна.

В качестве основных уравнений, по аналогии с [2,3], в расчётах берутся безразмерная нестационарная система уравнений движения вязкой несжимаемой жидкости для случая «тонкого слоя», уравнения неразрывности и уравнение Дарси (в пористом слое режим считается квазистационарным):

$$\frac{\partial^2 v_i}{\partial y^2} = \frac{dp_i}{dx} + \text{Re}_i \frac{dv_i}{dt}, \quad \frac{\partial u_i}{\partial y} + \frac{\partial v_i}{\partial x} = 0, \quad (i=1,2), \quad \frac{\partial^2 P}{\partial x^2} + \frac{\partial^2 P}{\partial y^2} = 0 \quad (2)$$

где размерные величины x', y', v'_i, u'_i, p'_i в смазочном слое связаны с безразмерными x, y, v_i, u_i, p_i соотношениями

$$y' = h_0 y, \quad x' = l \cdot x, \quad v'_i = u^* v_i, \quad u'_i = u^* \varepsilon u_i, \quad \varepsilon = \frac{h_0}{l},$$

$$p'_i = p_i^* p_i, \quad p_i^* = \frac{l \mu_i u^*}{h_0^2}, \quad \text{Re}_i = \frac{\rho_i h_0^2}{t^* \mu_i}, \quad t' = t^* t \quad (3)$$

Здесь u'_i, v'_i - компоненты вектора скорости, p'_i - гидродинамическое давление в смазочных слоях, μ_i - динамический коэффициент вязкости.

В пористом слое переход к безразмерным переменным осуществляется по формулам:

$$y' = H \cdot \zeta, \quad x' = l \cdot x, \quad P' = p_i^* P, \quad (4)$$

где P' - гидродинамическое давление в пористом слое.

Граничные условия на поверхности ползуна и направляющей записываются в виде:

$$u_1 \Big|_{y=0} = -N \frac{\partial P}{\partial \zeta} \Big|_{\zeta=0}, \quad v_1 \Big|_{y=0} = 1 + A \sin \Omega t, \quad p_1(0) = p_1(1) = \frac{p_a \cdot h_0^2}{l \mu_1 u^*} = \tilde{P}_g,$$

$$p_1 = P \Big|_{\zeta=0}, \quad \frac{\partial P}{\partial \zeta} \Big|_{\zeta=-1} = 0, \quad u_2 \Big|_{y=h(x)} = 0, \quad v_2 \Big|_{y=h(x)} = 0,$$

$$p_2(0) = p_2(1) = \frac{p_a h_0^2}{l \mu_2 u^*} = \tilde{P}_g. \quad (5)$$

На границе раздела слоёв

$$u_1 \Big|_{y=ah} = u_2 \Big|_{y=ah}, \quad v_1 \Big|_{y=ah} = v_2 \Big|_{y=ah}, \quad \frac{\partial v_1}{\partial y} \Big|_{y=ah} = \frac{\mu_2}{\mu_1} \frac{\partial v_2}{\partial y} \Big|_{y=ah},$$

$$\frac{u_1}{v_1} = \alpha h'(x), \quad h(x) = 1 + \eta x - \eta_1 \sin \omega x, \quad \eta = \frac{ltg\alpha}{h_0}, \quad \eta_1 = \frac{a'}{h_0}, \quad (6)$$

$\omega = \omega' l$, $N = k^* l^2 / k_0^4$, k^* – проницаемость пористого слоя.

Граничные условия (5) означают прилипание смазки к поверхности ползуна и направляющей, а также, что переходя через пористую поверхность,

давление меняется непрерывно, а нормальная составляющая скорости определяется законом Дарси.

Помимо этого, на непроницаемой поверхности направляющей нормальная составляющая скорости равна нулю. Давление в начальном и конечном сечениях равно атмосферному.

Условия (6) означают: условие существования слоистого течения смазки, т.е. требуется, чтобы скорость точек границы раздела слоёв в каждой точке была направлена по касательной к контуру раздела слоёв, а также равенство скоростей, касательных и нормальных напряжений на границе раздела слоёв.

Полагая толщину пористого слоя достаточно малой, осредним уравнение Дарси по толщине этого слоя

$$\int_0^{-1} \left(\frac{H^2}{l^2} \frac{\partial^2 P}{\partial x^2} + \frac{\partial^2 P}{\partial \zeta^2} \right) d\zeta = 0. \quad (7)$$

Точное автомодельное решение системы уравнений (2), удовлетворяющее граничным условиям (5) и (6), с учётом (7), будем искать в виде:

$$u_i = -\frac{\partial \psi_i}{\partial x} + U_i(x, y), \quad v_i = \frac{\partial \psi_i}{\partial y} + V_i(x, y), \quad \psi_i = \tilde{\psi}_i(\xi),$$

$$U_i(x, y) = -\tilde{u}_i(\xi)h'(x), \quad V_i(x, y) = \tilde{v}_i(\xi), \quad \xi = \frac{y}{h},$$

$$\frac{\partial p_1}{\partial x} + \text{Re}_1 \frac{\partial}{\partial t} \left[\frac{1}{h} \frac{\partial \tilde{\psi}_1(\xi, t)}{\partial \xi} \right]_{\xi=\alpha} + \tilde{v}_1(\xi, t)|_{\xi=\alpha} = \frac{\tilde{c}_1}{h^2} + \frac{\tilde{c}_2}{h^3}$$

$$\frac{\partial p_2}{\partial x} + \text{Re}_2 \frac{\partial}{\partial t} \left[\frac{1}{h} \frac{\partial \tilde{\psi}_2(\xi, t)}{\partial \xi} \right]_{\xi=\alpha} + \tilde{v}_2(\xi, t)|_{\xi=\alpha} = \frac{\tilde{c}_1}{h^2} + \frac{\tilde{c}_2}{h^3}$$

$$P = A(x)(\zeta + 1)^2 \zeta^2 + c^* (\zeta + 1)^2 \zeta h' + p. \quad (8)$$

Подставляя (8) в (2) и в граничные условия (5) и (6), с учётом (7), будем

$$\text{иметь: } \frac{\partial^3 \tilde{\psi}_1(\xi, t)}{\partial \xi^3} = \tilde{c}_2(t), \quad \frac{\partial^2 \tilde{v}_1(\xi, t)}{\partial \xi} = \tilde{c}_1(t), \quad \frac{\partial \tilde{u}_1(\xi, t)}{\partial \xi} + \xi \frac{\partial \tilde{v}_1(\xi, t)}{\partial \xi} = 0,$$

$$\frac{\partial^3 \tilde{\psi}_2(\xi, t)}{\partial \xi^3} = \tilde{c}_2(t), \quad \frac{\partial^2 \tilde{v}_2(\xi, t)}{\partial \xi} = \tilde{c}_1(t), \quad \frac{\partial \tilde{u}_2(\xi, t)}{\partial \xi} + \xi \frac{\partial \tilde{v}_2(\xi, t)}{\partial \xi} = 0; \quad (9)$$

$$\left. \frac{\partial \tilde{\psi}_1(\xi, t)}{\partial \xi} \right|_{\xi=0} = 0, \quad \tilde{u}_1(\xi, t)|_{\xi=0} = 0, \quad \tilde{v}_1(\xi, t)|_{\xi=0} = 1 + A \sin \Omega t, \quad \left. \frac{\partial \tilde{\psi}_2(\xi, t)}{\partial \xi} \right|_{\xi=1} = 0,$$

$$\tilde{u}_2(\xi, t)|_{\xi=1} = 0, \quad \tilde{v}_2(\xi, t)|_{\xi=1} = 0, \quad \left. \frac{\partial \tilde{\psi}_1(\xi, t)}{\partial \xi} \right|_{\xi=\alpha} = \left. \frac{\partial \tilde{\psi}_2(\xi, t)}{\partial \xi} \right|_{\xi=\alpha},$$

$$\tilde{v}_1(\xi, t)|_{\xi=\alpha} = \tilde{v}_2(\xi, t)|_{\xi=\alpha}, \quad \tilde{u}_1(\xi, t)|_{\xi=\alpha} = \tilde{u}_2(\xi, t)|_{\xi=\alpha}, \quad \left. \frac{\partial \tilde{v}_1(\xi, t)}{\partial \xi} \right|_{\xi=\alpha} = \frac{\mu_2}{\mu_1} \left. \frac{\partial \tilde{v}_2(\xi, t)}{\partial \xi} \right|_{\xi=\alpha},$$

$$\left. \frac{\partial^2 \tilde{\psi}_1(\xi, t)}{\partial \xi^2} \right|_{\xi=\alpha} = \frac{\mu_2}{\mu_1} \left. \frac{\partial^2 \tilde{\psi}_2(\xi, t)}{\partial \xi^2} \right|_{\xi=\alpha}, \quad p_1 = \frac{\mu_2}{\mu_1} p_2, \quad \int_0^\alpha \tilde{v}_1(\xi, t) d\xi + \int_\alpha^1 \tilde{v}_2(\xi, t) d\xi = Nc^* = \beta. \quad (10)$$

Решение задачи (9) – (10) находится непосредственным интегрированием.

Для определения постоянных $c_i (i = 2, 3, \dots, 11)$, $\tilde{c}_1, \tilde{c}_2, \tilde{c}_1, \tilde{c}_2$ придём к алгебраической системе, которая сводится к матричному уравнению вида:

$$M \cdot \vec{x} = \vec{b}, \quad \text{где}$$

$$\vec{x} = \{\tilde{c}_1; c_4; c_5; c_8; c_9\}, \quad \vec{b} = \left\{ -\tilde{c}_2 \frac{1}{2}; 0; \beta - \alpha - \alpha A \sin \Omega t; -\tilde{c}_2 \frac{\alpha^2}{2} (k-1); -1 - A \sin \Omega t \right\}$$

$$M = k \begin{vmatrix} 0 & 1 & 1 & 0 & 0 \\ \frac{1}{2} & 0 & 0 & 1 & 1 \\ \frac{\alpha^3}{6} - \frac{\alpha^3}{6} + \frac{1}{6} & 0 & 0 & k \frac{\alpha^2}{2} - \frac{\alpha^2}{2} + \frac{1}{2} & 1 - \alpha \\ 0 & \alpha(k-1) & -1 & 0 & 0 \\ \frac{\alpha^2}{2} (k-1) & 0 & 0 & \alpha(k-1) & -1 \end{vmatrix}$$

Выражения, полученные для постоянных $c_i (i = 2, 3, \dots, 11)$, $\tilde{c}_1, \tilde{c}_2, \tilde{c}_1, \tilde{c}_2$ в работе не приводятся в виду их громоздкости.

Безразмерные расходы Q_1 и Q_2 двухслойной смазочной жидкости определяются выражениями:

$$Q_1 = \tilde{c}_2 \frac{\alpha^3}{6} + c_2 \frac{\alpha^2}{2} + c_3 \alpha, \quad Q_2 = \frac{\tilde{c}_2}{6} + \frac{c_4}{2} + c_5 - c_6 \frac{\alpha^3}{6} - c_4 \frac{\alpha^2}{2} - c_5 \alpha.$$

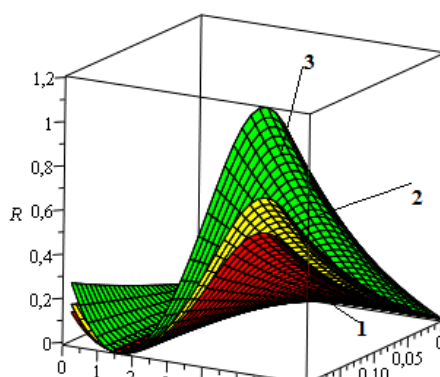
Безразмерная поддерживающей сила \tilde{R}_y и безразмерная сила трения \tilde{L}_{mp} , определяются выражениями:

$$\tilde{R}_y = \frac{R_y}{p_1^* l} = \int_0^1 (p_1(0) - p_1(x)) dx$$

$$\tilde{L}_{mp} = \frac{L_{mp} l}{\mu_1 u^*} = \int_0^1 \left(\frac{\tilde{\psi}_1''(0)}{h^2(x)} + \frac{\tilde{v}_1(0)}{h(x)} \right) dx = \int_0^1 \frac{c_2}{h^2(x)} + \frac{c_6}{h(x)} dx$$

Результаты численного анализа полученных аналитических выражений для основных рабочих характеристик, показывают:

1. С увеличением вязкостного отношения, несущая способность возрастает.
2. С уменьшением параметра α , характеризующего протяженность слоев, при $k > 1$, несущая способность увеличивается.
3. С увеличением параметра β , несущая способность уменьшается, при этом для значений $\beta > 0.5$ теряется устойчивость.
4. При $k > 1$, $\alpha < 0.4$, $\Omega \in (0.42; 0.91)$ с ростом Re_1 , несущая способность увеличивается.
5. С ростом Re_1 безразмерный расход Q_1 увеличивается, Q_2 - уменьшается.
6. С уменьшением параметра k , увеличением параметра α , уменьшением Re_1 , при $\Omega < 0.5$ - сила трения увеличивается.
7. С ростом параметра k , ростом α - безразмерный расход Q_1 - увеличивается, а безразмерный расход Q_2 - уменьшается.

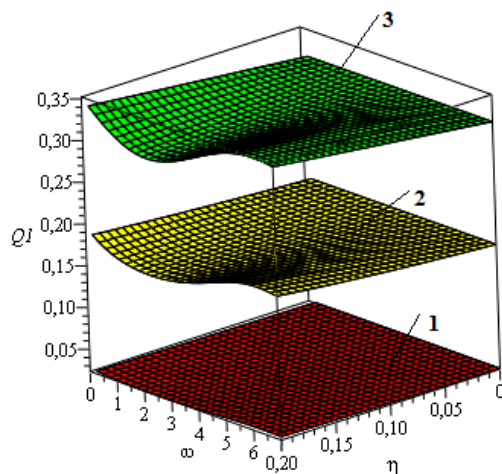


$$1) k = 1.5, \alpha = 0.5, \Omega = 0.6, Re_1 = 0.5, \beta = -0.1$$

$$2) k = 2, \alpha = 0.3, \Omega = 0.6, Re_1 = 3, \beta = -0.1$$

$$3) k = 2.5, \alpha = 0.2, \Omega = 0.6, Re_1 = 30, \beta = -0.1$$

Рис. 2 Зависимость безразмерной несущей способности от параметров ω и η при разных значениях параметров α , k и Re_1

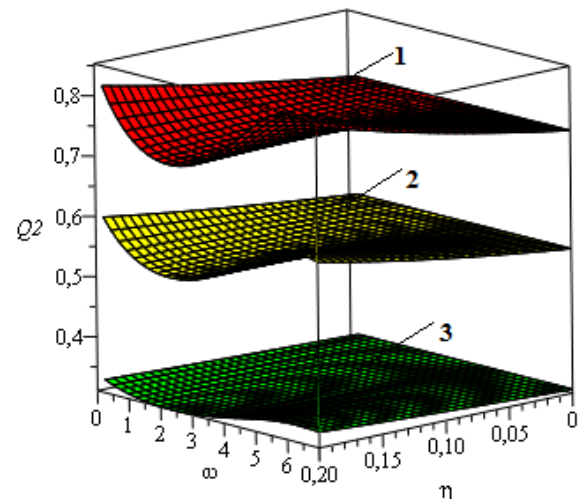


$$1) k = 1.2, \alpha = 0.1, \Omega = 0.4, Re_1 = 0.3, \beta = -0.1$$

$$2) k = 1.5, \alpha = 0.3, \Omega = 0.4, Re_1 = 3, \beta = -0.1$$

$$3) k = 2, \alpha = 0.5, \Omega = 0.4, Re_1 = 30, \beta = -0.1$$

Рис.3 Зависимость расхода Q_1 от параметров ω и η при разных значениях параметров α , k и Re_1



$$1) k = 1.2, \alpha = 0.1, \Omega = 0.4, Re_1 = 0.3, \beta = -0.1$$

$$2) k = 1.5, \alpha = 0.3, \Omega = 0.4, Re_1 = 3, \beta = -0.1$$

$$3) k = 2, \alpha = 0.5, \Omega = 0.4, Re_1 = 30, \beta = -0.1$$

Рис.4 Зависимость расхода Q_2 от параметров ω и η при разных значениях параметров α , k и Re_1

Литература:

1. Айзинбуд А.К. Разработка метода гидродинамического расчета упорного подшипника, работающего на двухслойной смазке в нестационарном режиме трения.//Вестник РГУПС №3,2013.-С. 170-177

2. Ахвердиев К.С., Александровна Е.Е., Мукутадзе М.А., Стратифицированное течение двухслойной смазки в зазоре упорного подшипника, обладающего повышенной несущей способностью и демпфирующими свойствами//Проблемы синергетики в трибологии, трибоэлектрохимии, материаловедении и мехатронике: материалы VIII Междунар. науч.-практ. конф. /ЮРГТУ- Новочеркасск, 2009.- С.14-22.

3. Александровна Е.Е., Мукутадзе М.А., Копотун Б.Е., Математическая модель двухслойной смазки в зазоре упорного подшипника, обладающего повышенной несущей способностью и демпфирующими свойствами //Труды Международной научно-практической конференции «Проблемы и перспективы развития транспортного комплекса: образование, наука, производство» - Ростов н/Д , 2009.- С.8-9.

4. Ахвердиев К.С., Воронцов П.А., Черкасова Т.С., Гидродинамический расчет подшипников скольжения с использованием моделей слоистого течения вязкой смазки//Трение и износ. 1998.- Т.16, №6-С 698-707

5. Фукс Г.И., Кутейникова З.А., Блехеров М.М., О двухслойной смазке// Вуз сб.: Исследования по физикохимии контактных взаимодействий. Уфа: Башиздат, 1971.-с.79-93.

6. Коровчинский М.В., Теоретические основы работы подшипников скольжения. М., Машгиз., 1959.-403с

7. Raimondi A.A. An adiabatic solution for the finite slider bearing.- Trans. ASLE , 1966.-V.9,3,-P.283-286.

8. Ахвердиев К.С., Александрова Е.Е., Кручина Е.В., Мукутадзе М.А., Стратифицированное течение двухслойной смазки в зазоре упорного подшипника, обладающего повышенной несущей способностью///Вестник Дон. Гос.техн. ун-та-2010. - Т.10 №2(45). -С.217-223.

9. Мукутадзе М.А., Флекс Б.М., Задорожная Н.С., Полчков Е.В., Мукутадзе А.М., Расчетная модель гидродинамической смазки неоднородного пористого подшипника конечной длины, работающего в устойчивом нестационарном режиме трения при наличии принудительной

подачи смазки [Электронный ресурс] // «Инженерный вестник Дона», 2013 г., №3 – Режим доступа: <http://www.ivdon.ru/magazine/archive/n3y2013/1765> (доступ свободный) – Загл. с экрана. – Яз. рус.

10. Gear C.W., Numarical Initial Value Problems in Ordinary Differential Equations / Prentice-Hall, Inc., Englewood Cliffs. - N.J., 1972. – С. 52.

11. Баранова Д.А., Математическая модель деформирования подкрепленных оболочек вращения при учете различных свойств материала [Электронный ресурс] // «Инженерный вестник Дона», 2012 г., №2 – Режим доступа: <http://www.ivdon.ru/magazine/archive/n2y2012/745> (доступ свободный) – Загл. с экрана. – Яз. рус